



Fig. 69.—Corredor del segundo piso del curato de Temascalcingo con vista hacia el Oriente; los restos de una de las pilastras demuestran la dirección del movimiento.



Fig. 70.—Restos de la iglesia de San Pedro el Alto (cámara afocada al E.). El muro del Norte aparece notablemente doblado hacia el Sur; y los dislocamientos de las columnas del altar lateral demuestran la dirección N.-S. del movimiento.

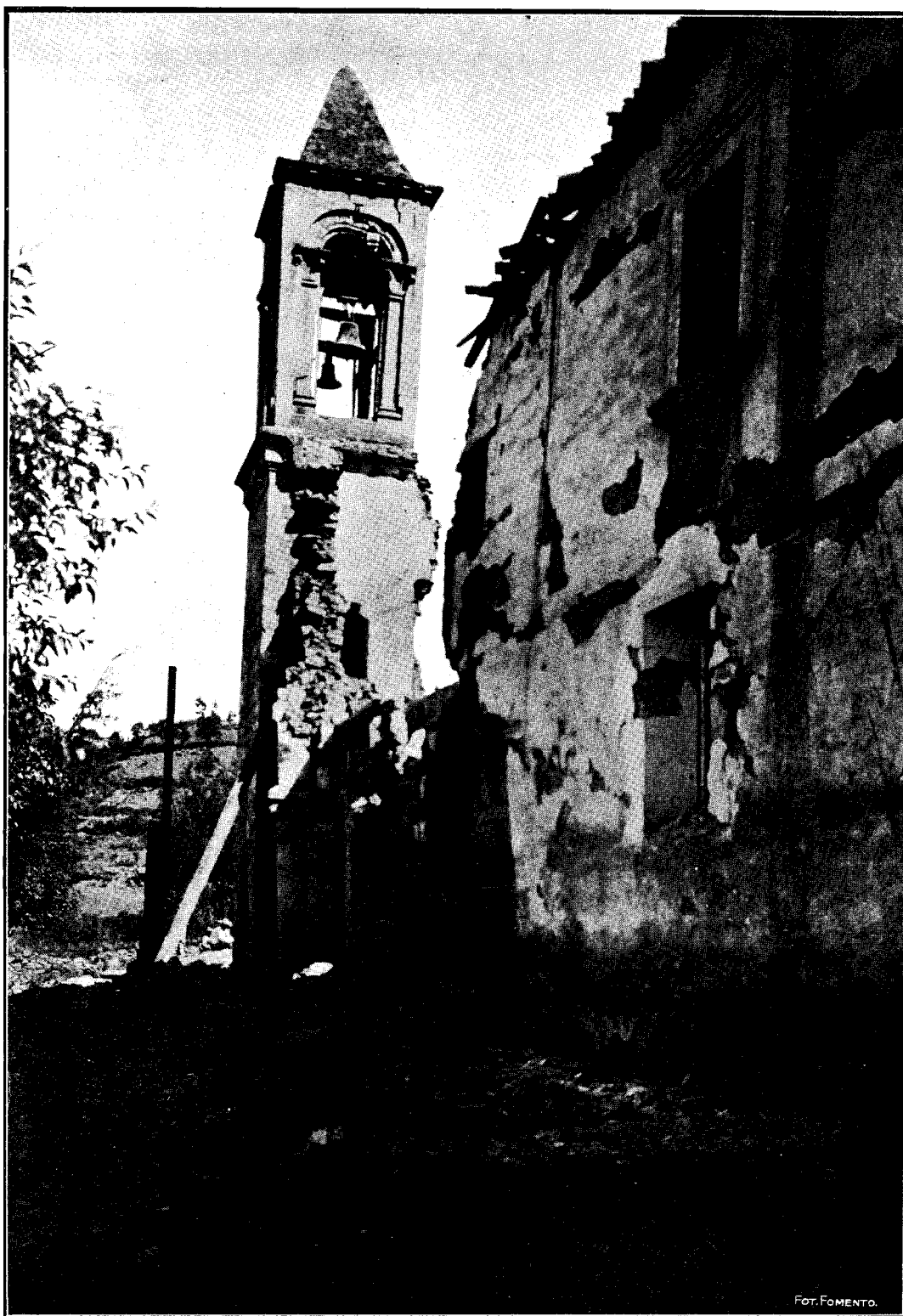


Fig. 71.—Fachada de la iglesia y del curato de San Andrés Timilpan.
El derrumbe de la fachada de la iglesia fué hacia el Poniente



Fig. 72.—Destrucción completa de los muros Oriente-Poniente y conservación de los apañados de Norte a Sur en las habitaciones bajas de la hacienda de Toxi.



Fig. 73.—Costado Norte de la casa de la hacienda de Toxi, en donde se observan efectos semejantes a los de la fotografía anterior

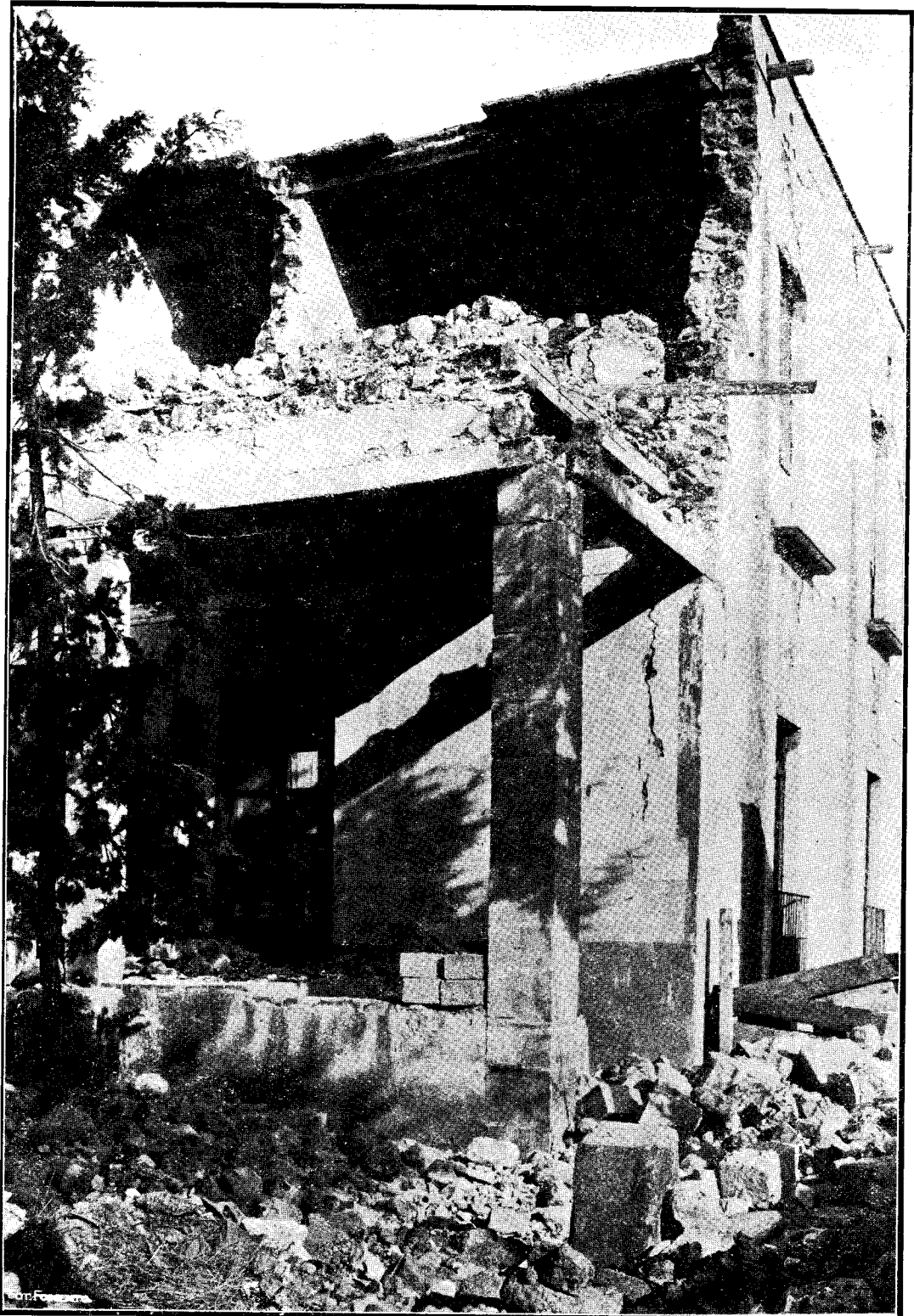


Fig. 74.—Lado Sur de la casa de la hacienda de Toxi



Fig. 75.—Muro que ve al Oriente de la casa de la hacienda de Toxi. Desprendimiento de los cerramientos de las ventanas superiores y posición de las cuarteaduras.

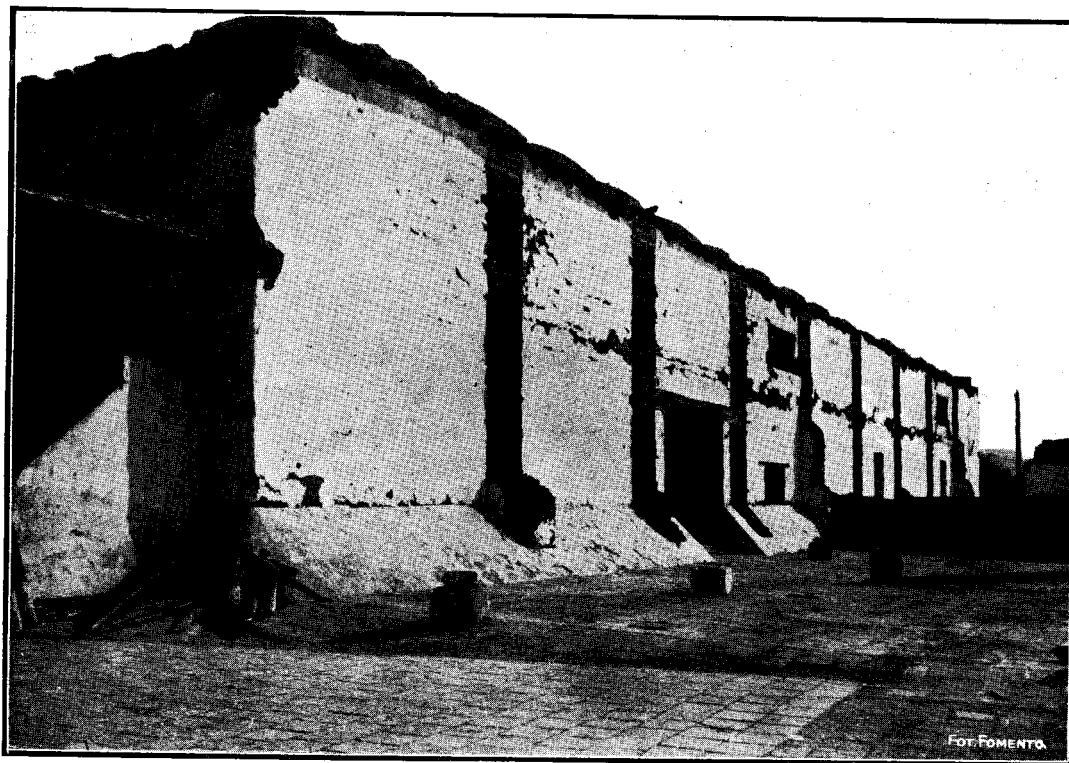


Fig. 76.—Costado Sur del jacal de Toxi que muestra el derrumbe de todos los contrafuertes de adobe que tenfa

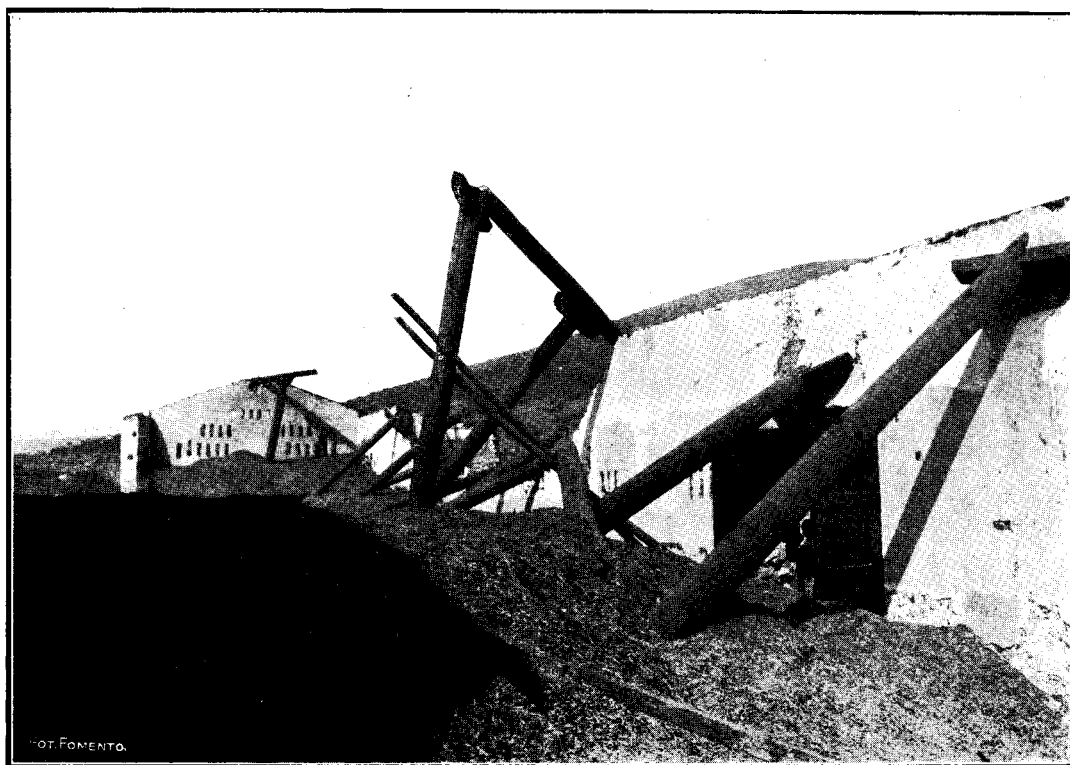


Fig. 77.—Derrumbe hacia el Norte del "Jacal Nuevo," de la hacienda de Toxi



Fig. 78.—Iglesia del pueblo de San Pedro Potla. Las columnas del segundo cuerpo de la torre indican la dirección del impulso más intenso. (Cámara afocada al Oriente).

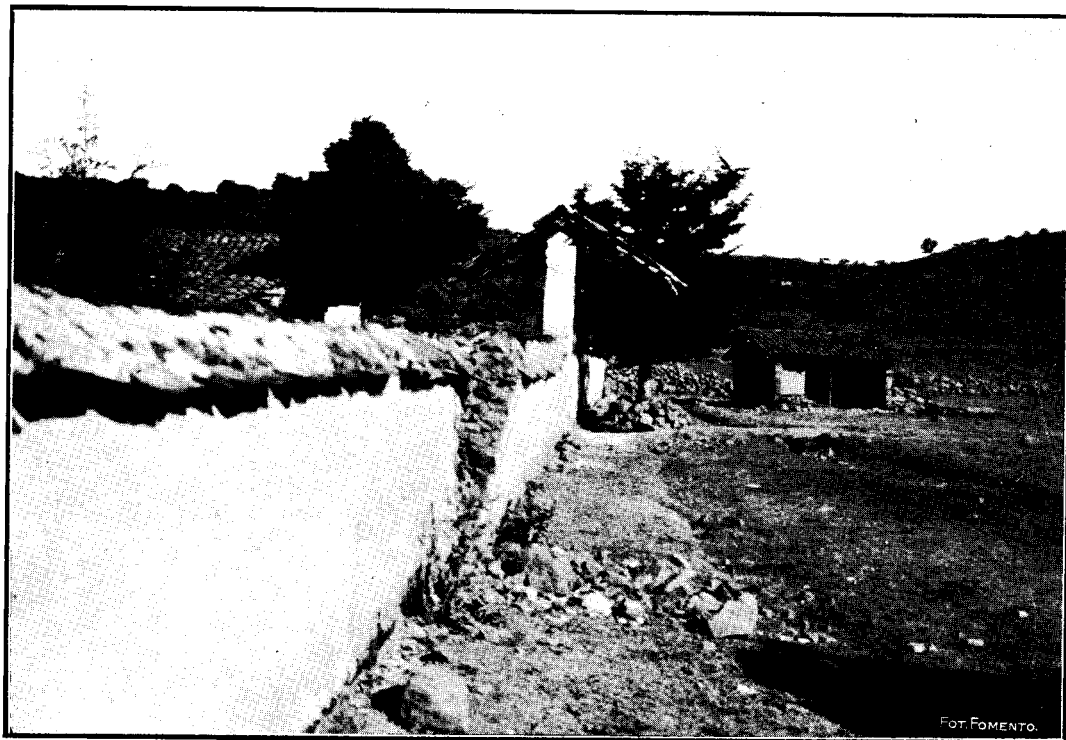


Fig. 79.—Barda Sur del atrio de la iglesia de San Lorenzo Tlacotepec

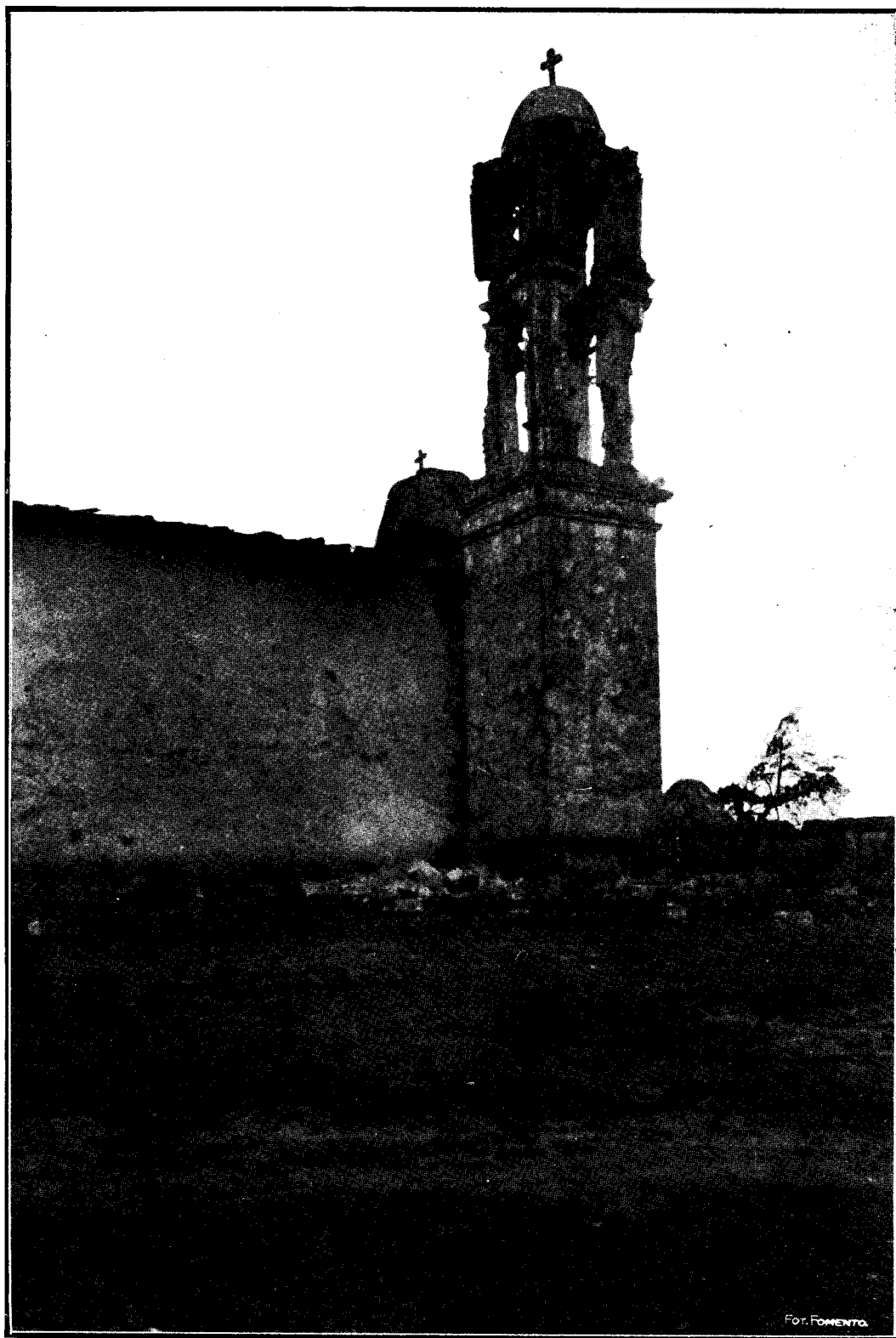


Fig. 80.—Torre de la iglesia de San Juan de los Jarros
(Cámara afocada al S.-W.)

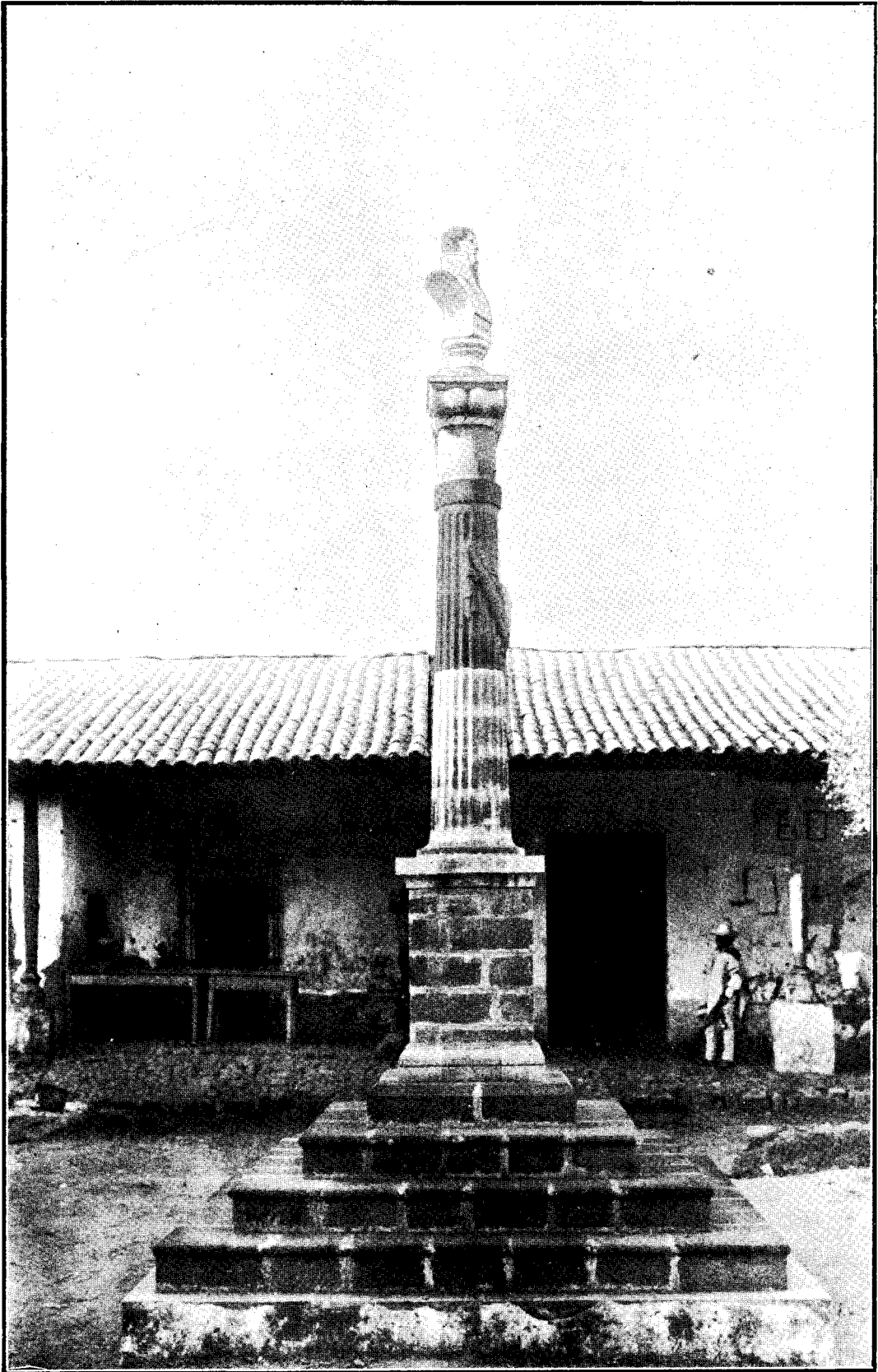


Fig. 81.—Monumento a D. José María Morelos en el pueblo de Xocotitlán
El busto giró sobre la columna, 45°

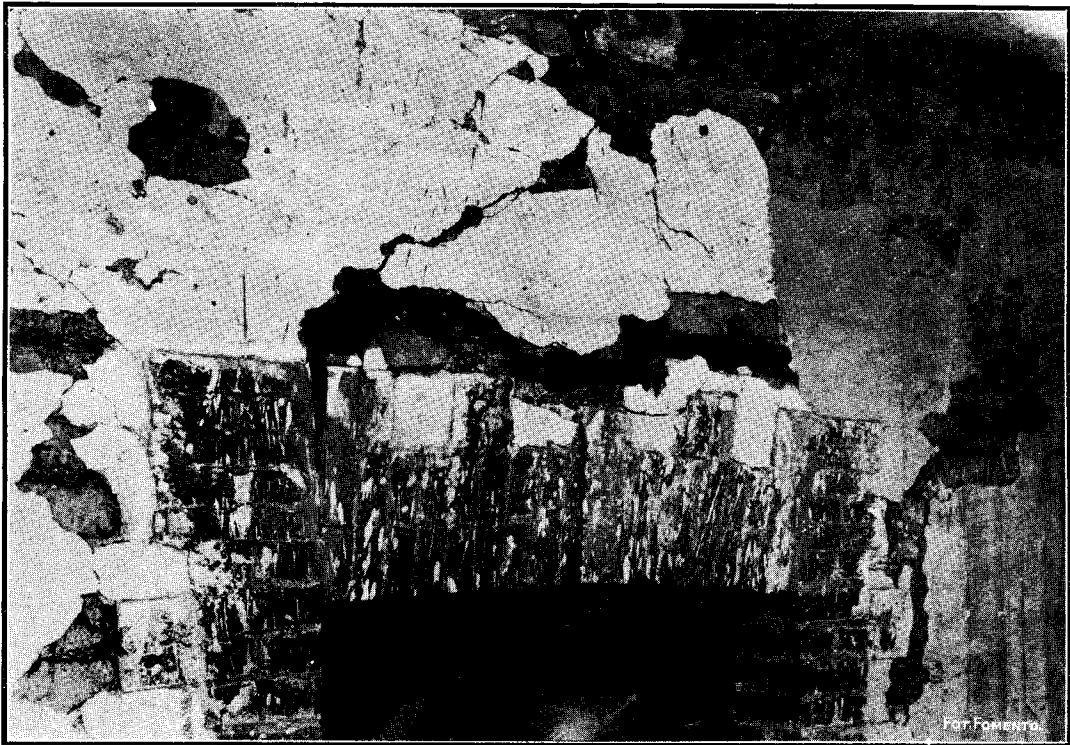


Fig. 82.—Construcción defectuosa del cerramiento de una puerta y efectos del temblor sobre él
(de una casa de San Andrés Timilpan)

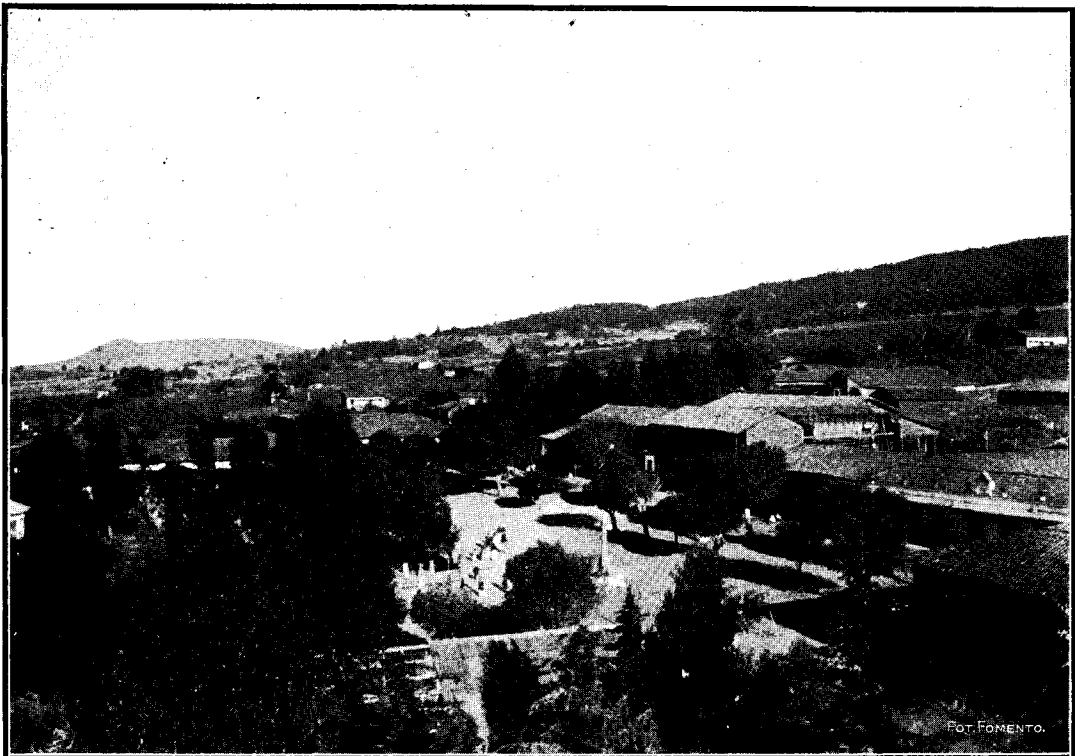


Fig. 83.—Vista panorámica del pueblo de Xocotitlán

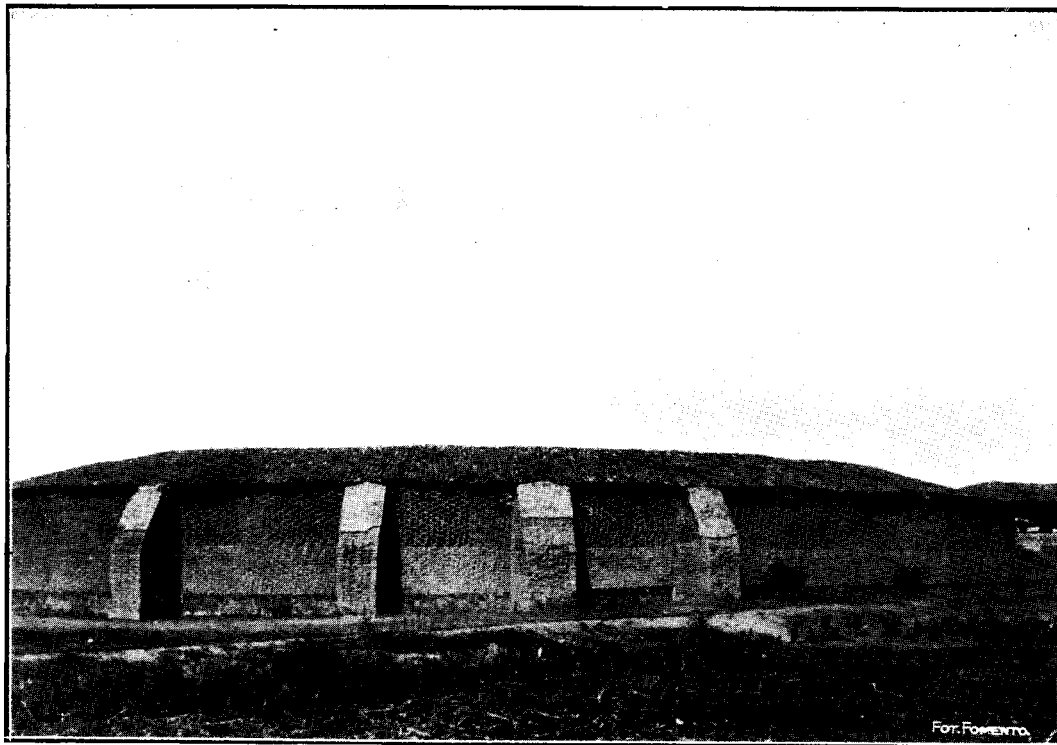


Fig. 84.—Vista exterior del granero circular de la hacienda de Tepetongo.
Construcción que no sufrió nada con el temblor

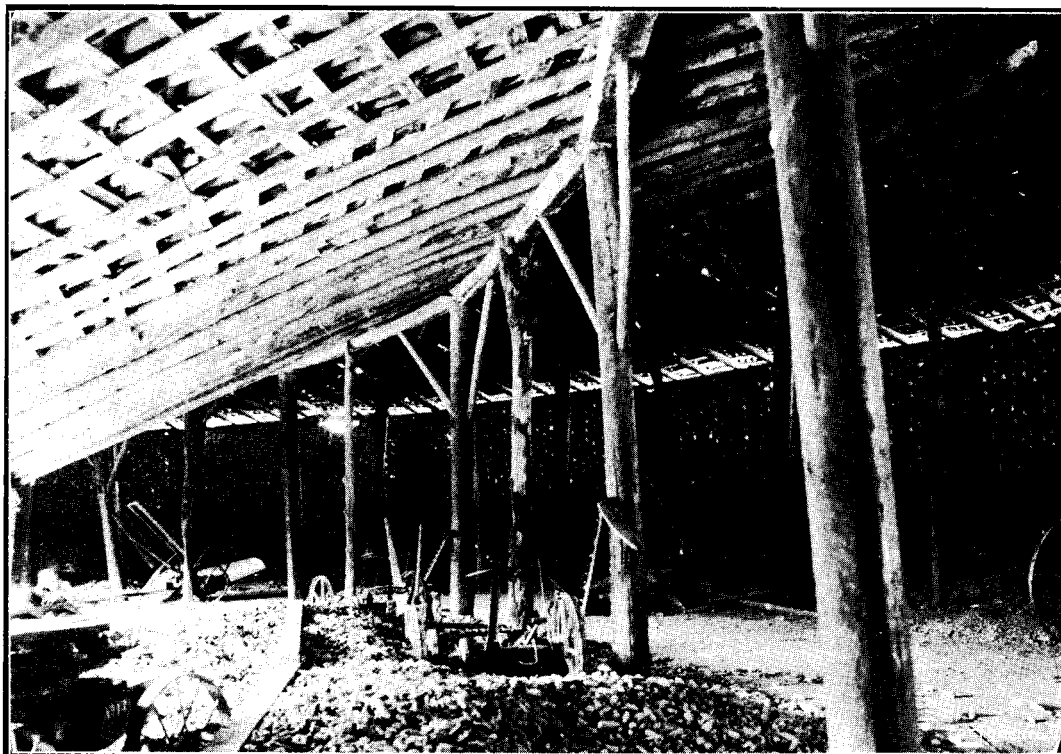


Fig. 85.—Interior del granero anterior; disposición de los pies derechos

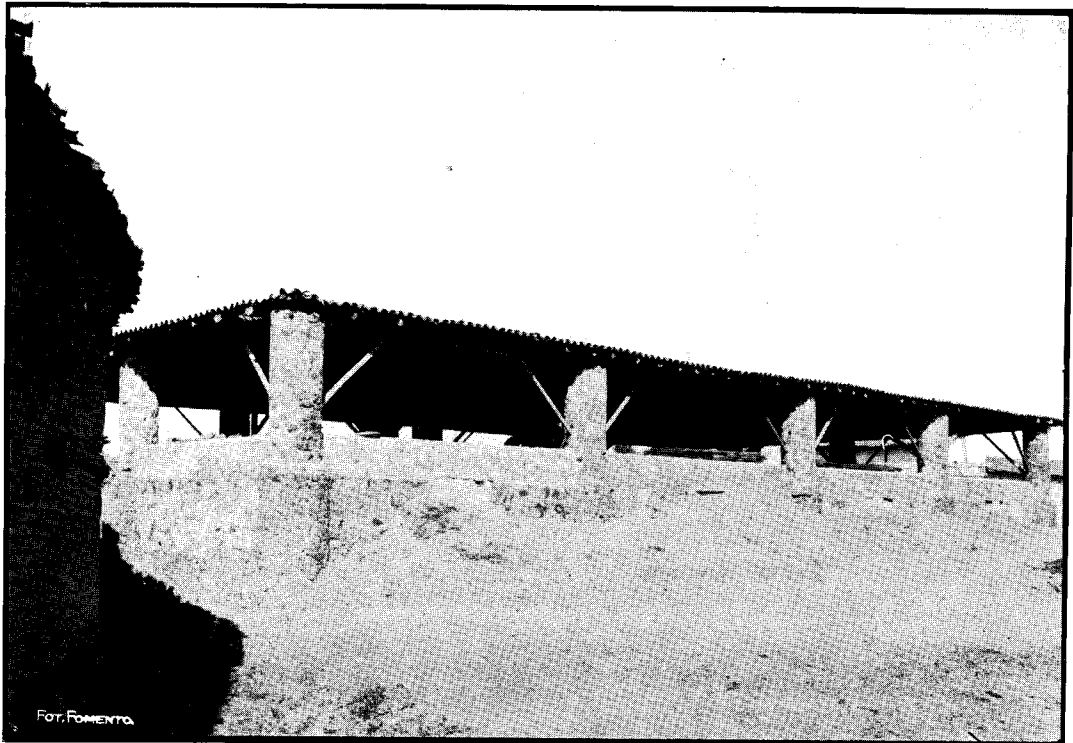


Fig. 86.—Vista exterior de la antigua troje de la hacienda de Tepetongo, tampoco sufrió desperfecto alguno con el temblor

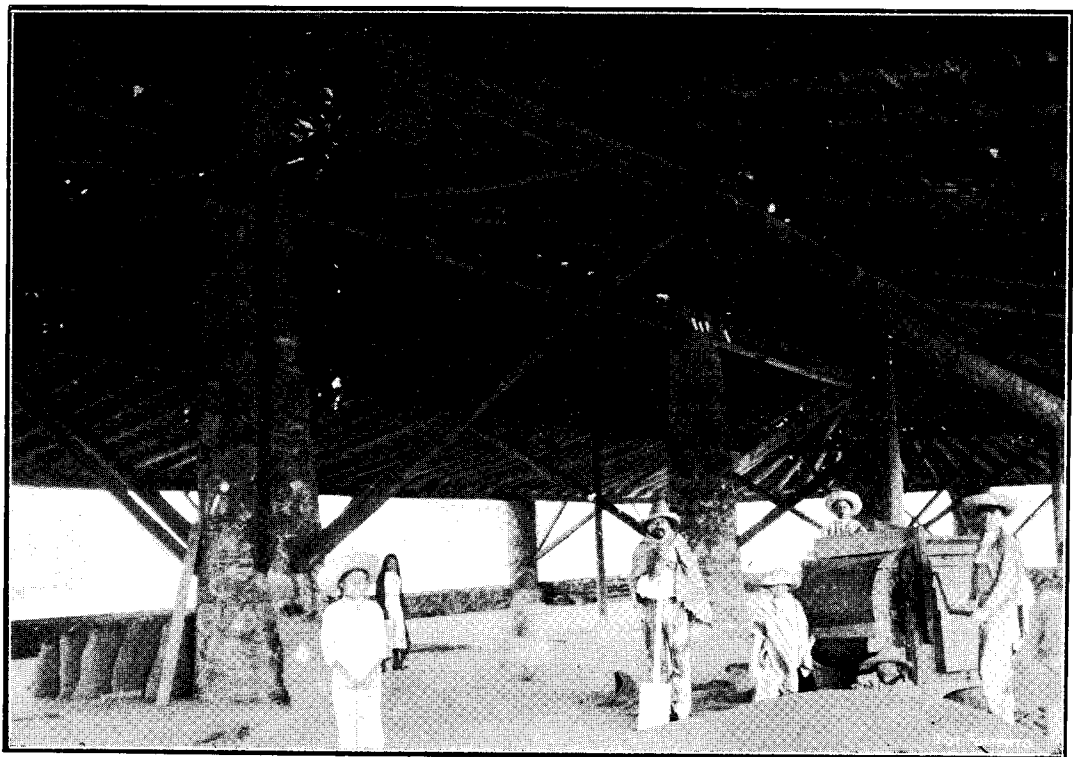


Fig. 87.—Interior del mismo departamento que muestra la forma cónica de las columnas y disposición de los puntales



Fig. 88.—Colegio católico para niñas en Temascalcingo. Efectos del temblor en el segundo y tercer piso del torreón

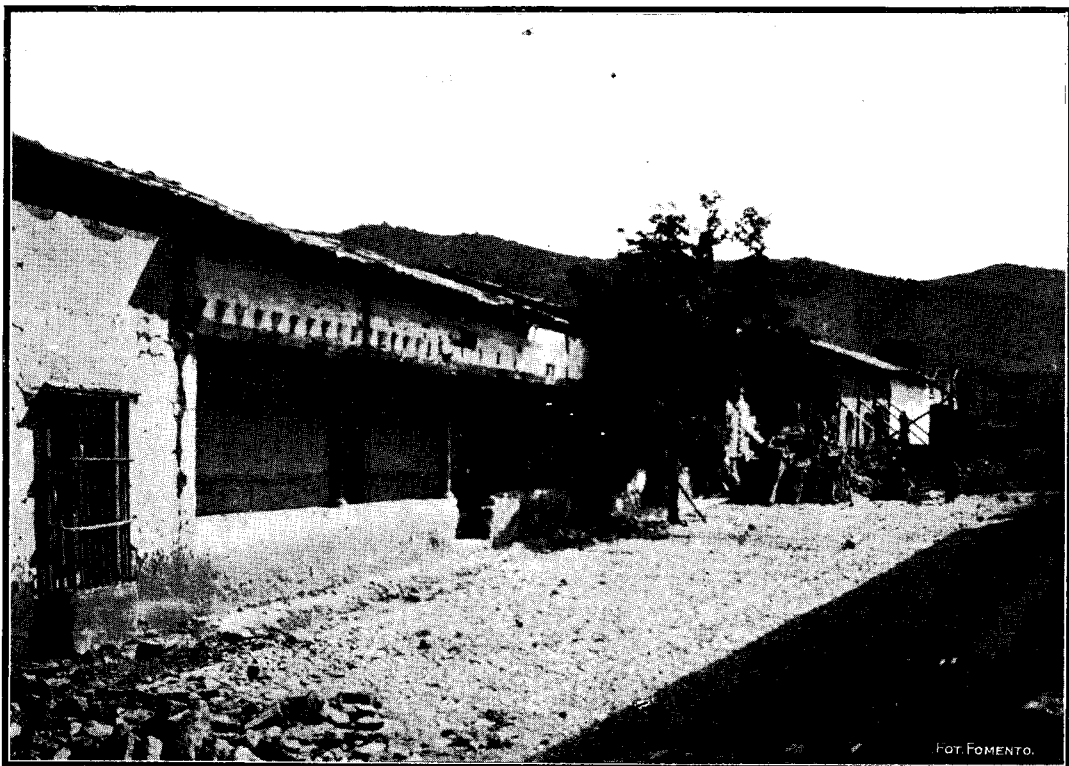


Fig. 89.—Conservación de portales y desplome de las fachadas. Efectos semejantes a los que presenta la lám. XXXVIII

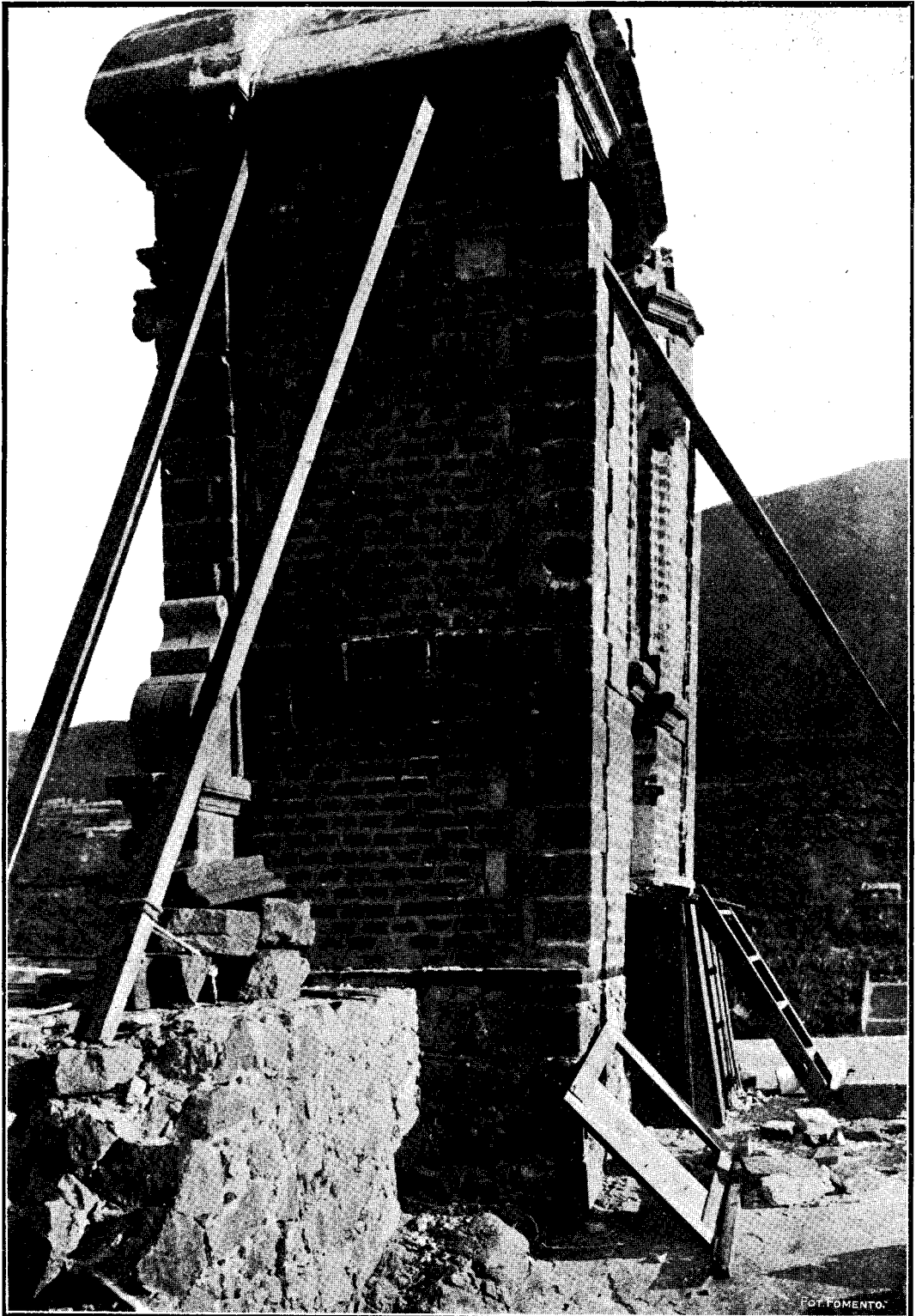


Fig. 90.—Torreón del reloj, en la iglesia de Xocotitlán, y efectos del temblor sobre la mampostería de ladrillo

RAL.
3 DE NOVIEMBRE DE 1912.

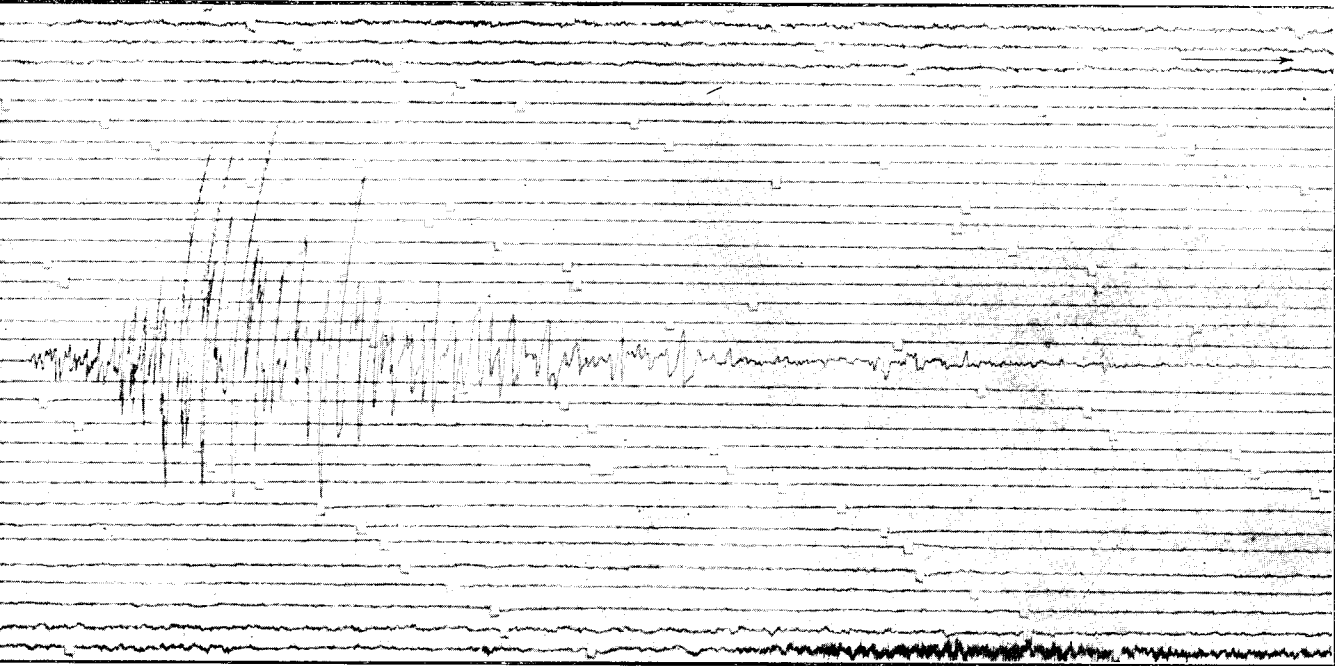
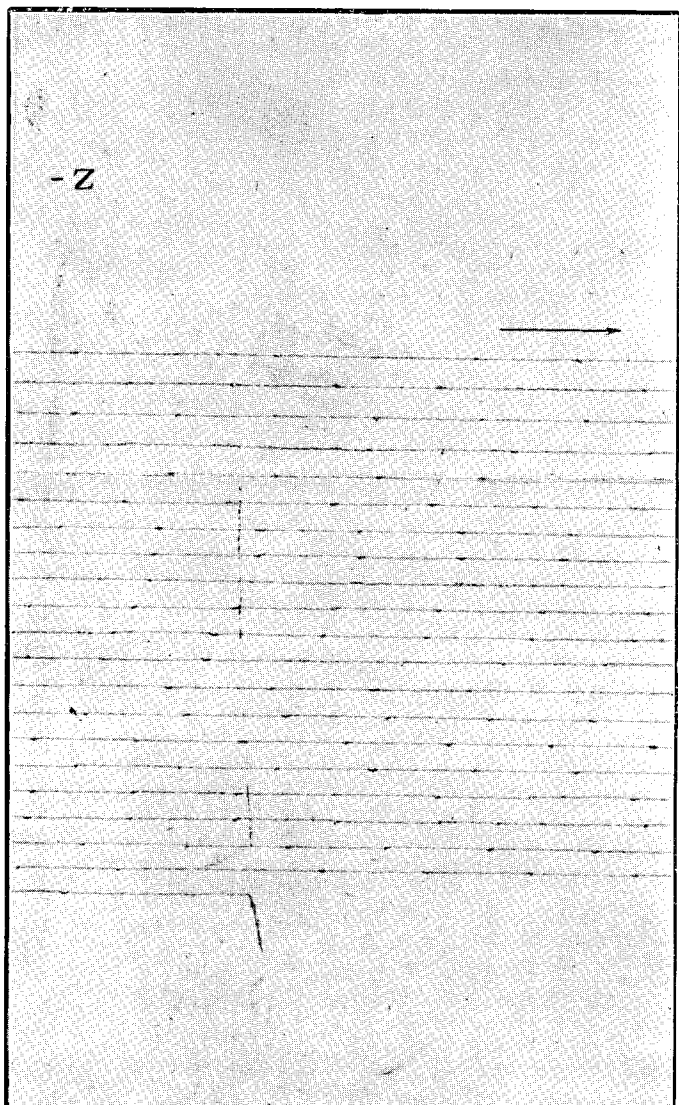
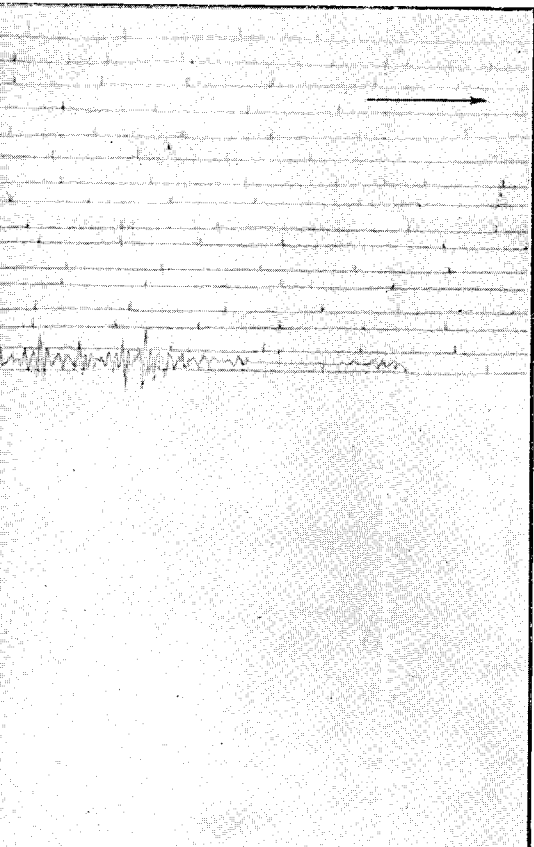


Fig. 2. Péndulo horizontal Wiechert de 17000 kgs. Componente S. W.

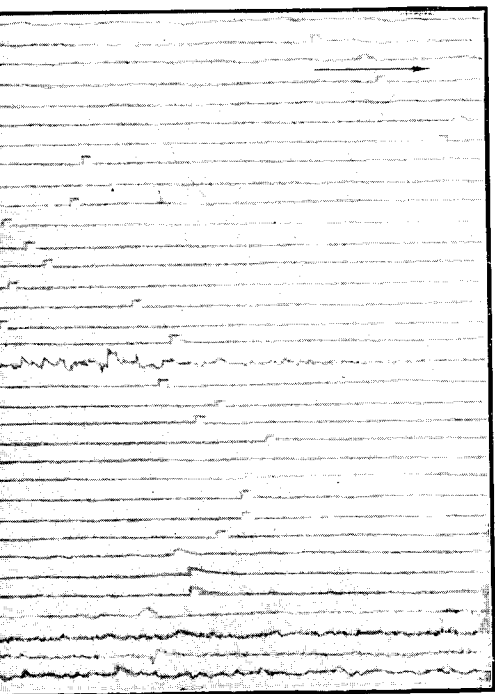
A LAS 3^h55^m17^s (TIEMPO DE GREENWICH.)



INSTITUTO GEOLOGICO DE MEXICO.

ESTACION SEISMOLOGICA CENTRAL.

SEISMO REGISTRADO LA NOCHE DEL 18 DE NOVIEMBRE DE 1912.



Componente N. S.

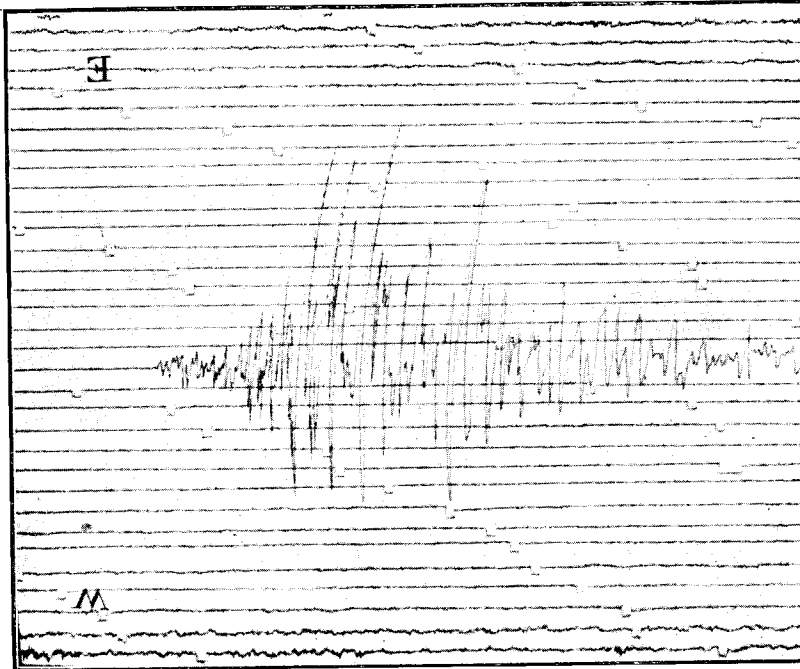
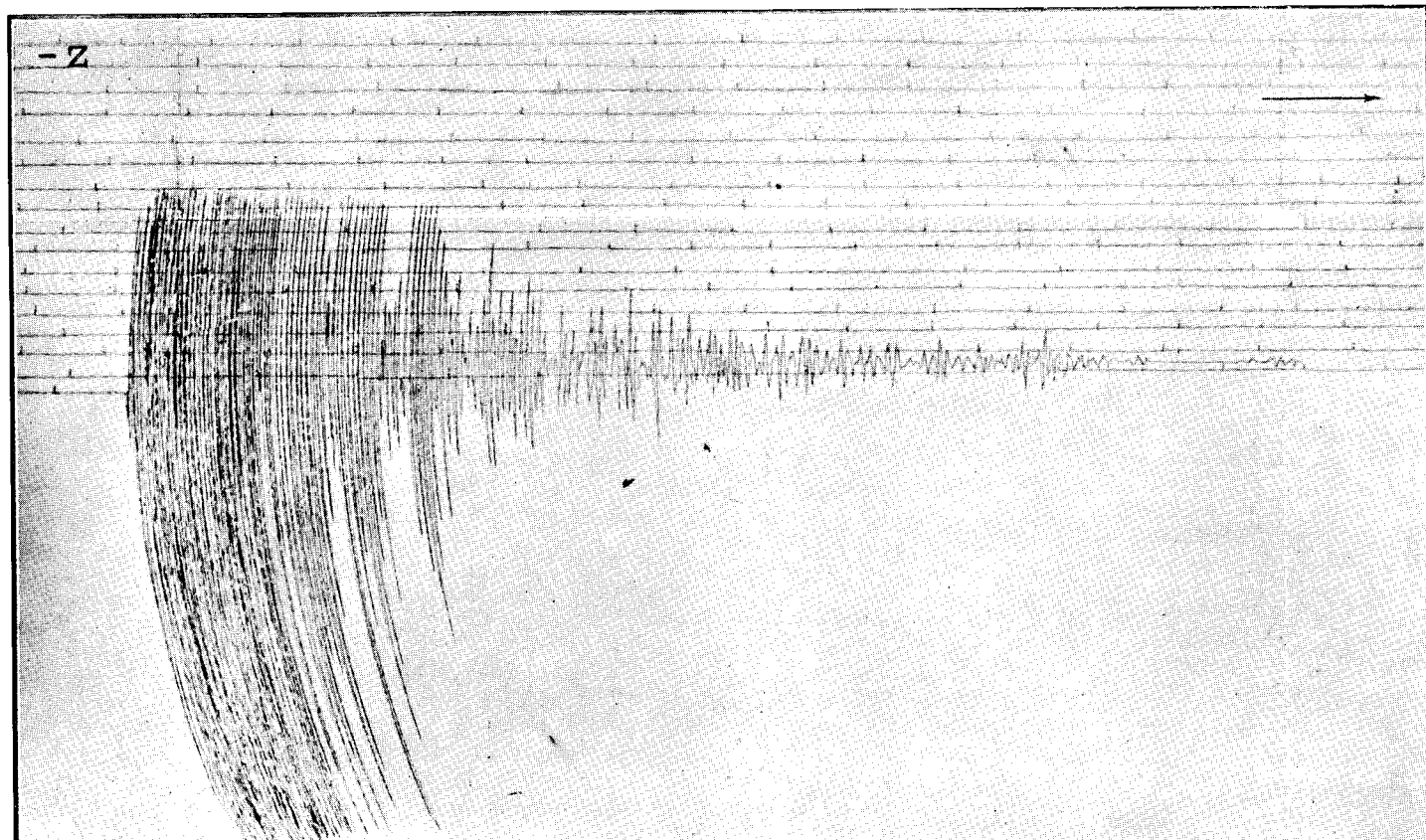


Fig. 2. Péndulo horizontal Wiechert de

DE NOVIEMBRE DE 1912, REGISTRADO A LAS 3^h55^m17^s (TIEMPO DE



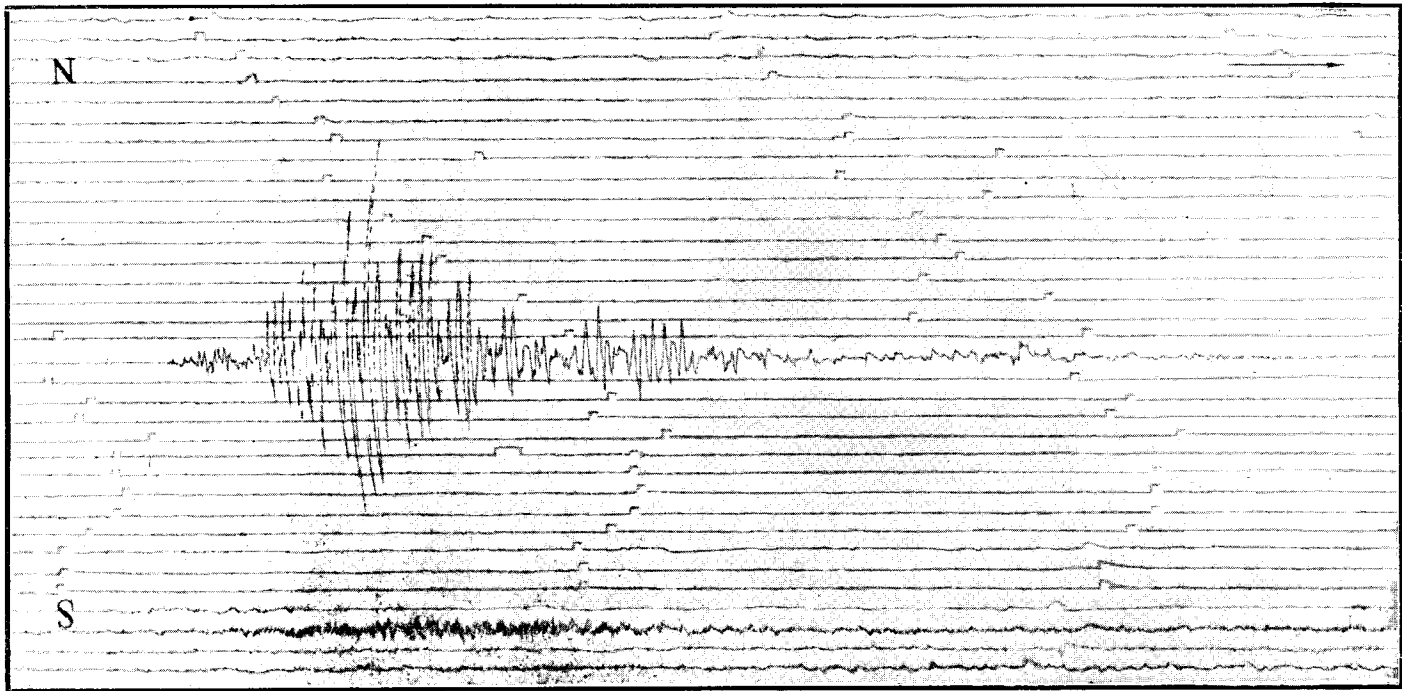
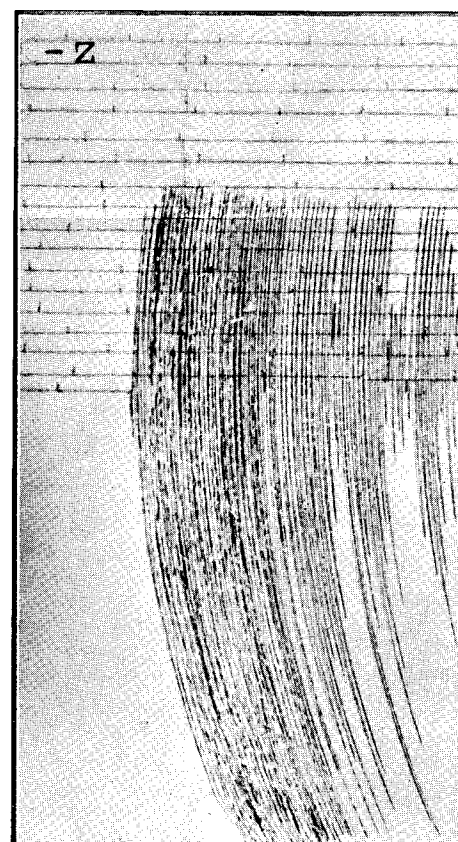
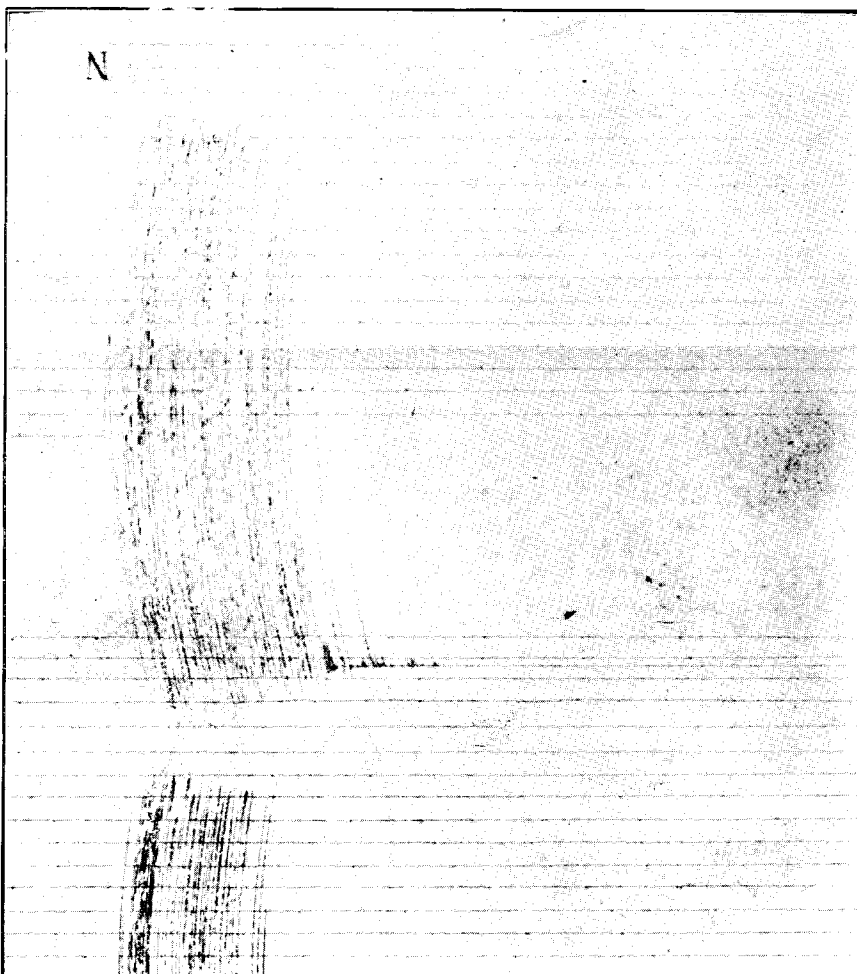
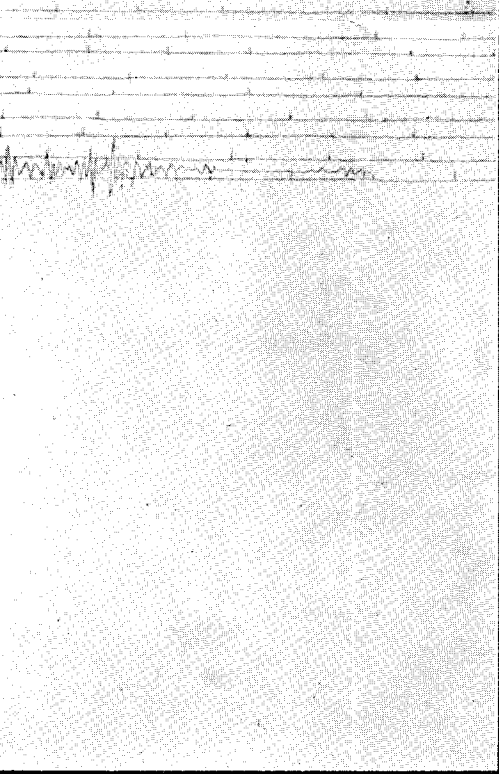


Fig. 1. Péndulo horizontal Wiechert de 17000 kgs. Componente N. S.

MACROSEISMO DEL 19 DE NOVIEMBRE DE 1917

Fig. 4. Péndulo horizontal Wiechert de 125 kgs. Componente N. S.
Desviación inicial hacia el N.





ial impetuoso hacia arriba.

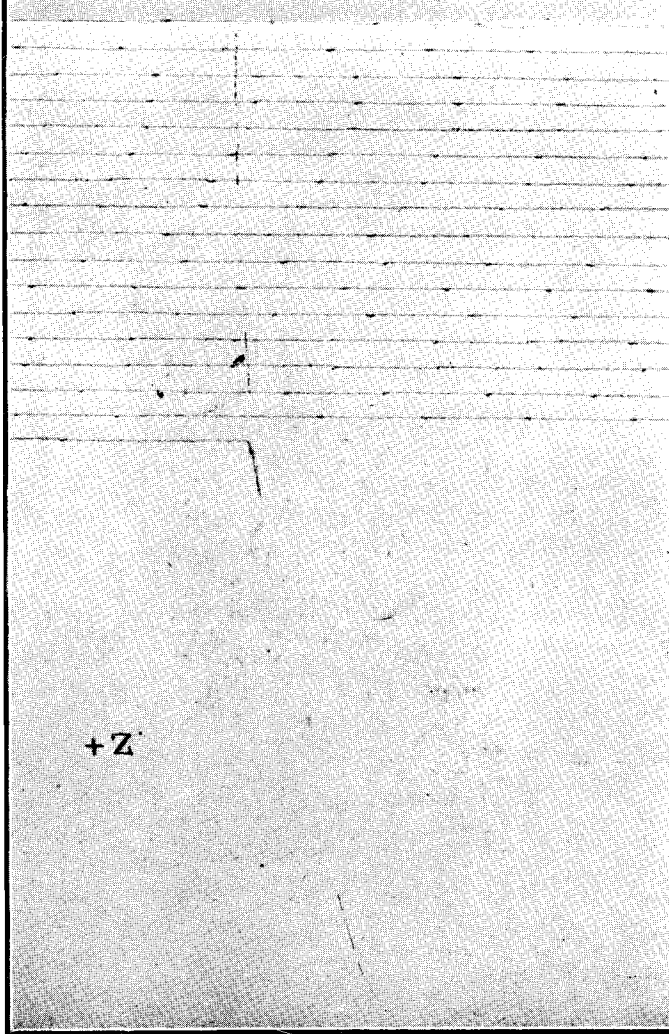
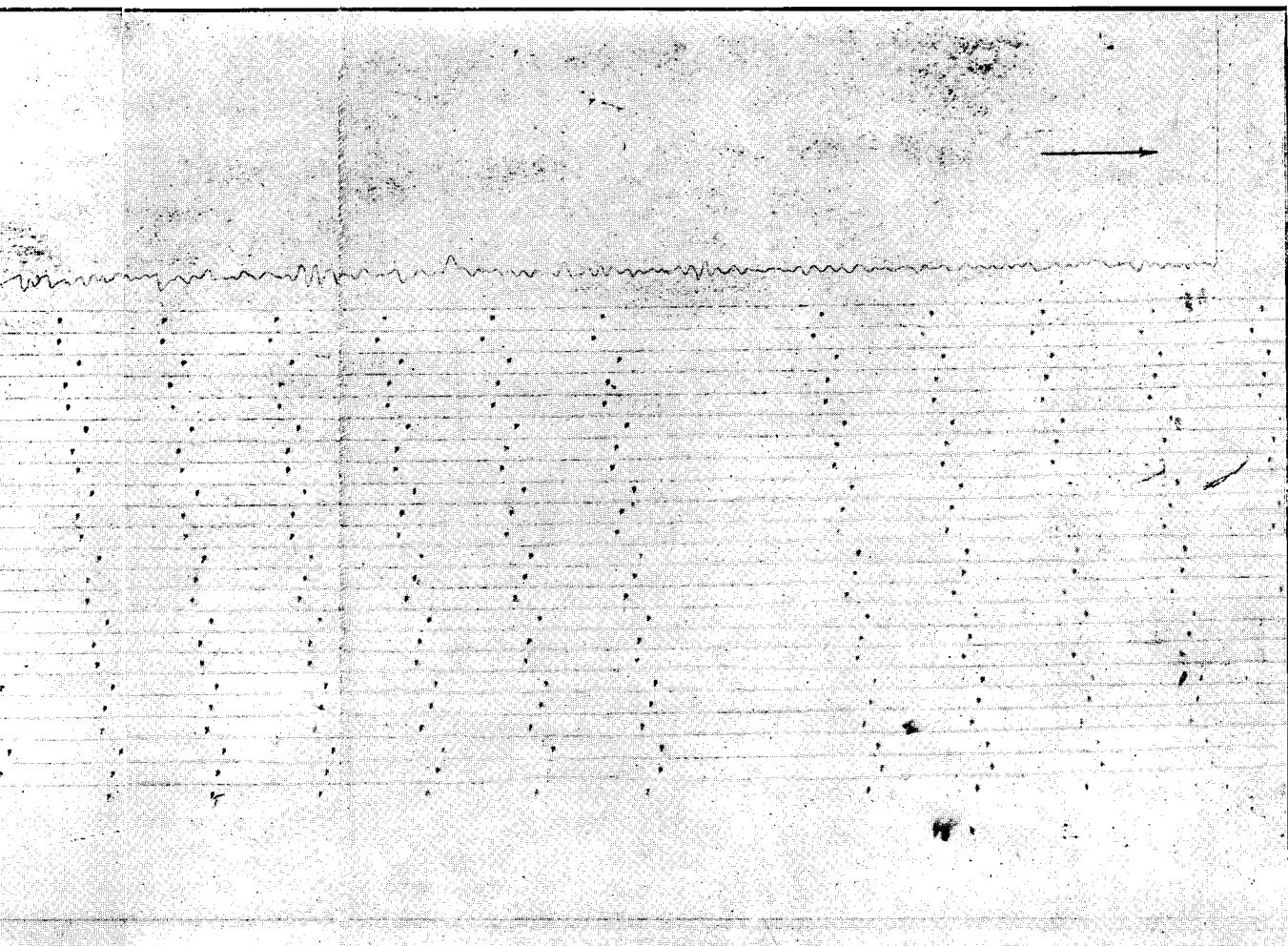


Fig. 6. Seismógrafo vertical Wiechert de 1300 kgs.
Principio impetuoso.



stro durante las ondas de máxima intensidad.)

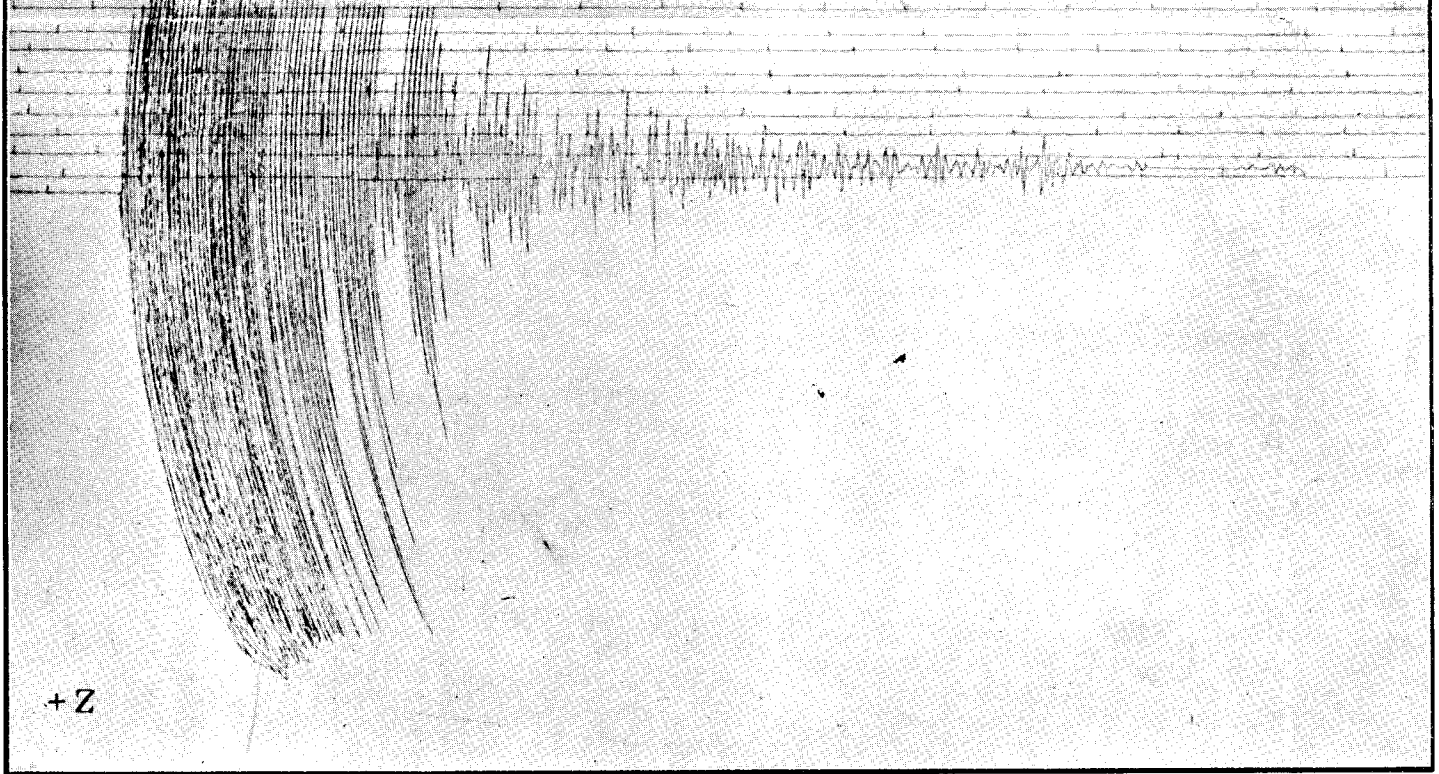
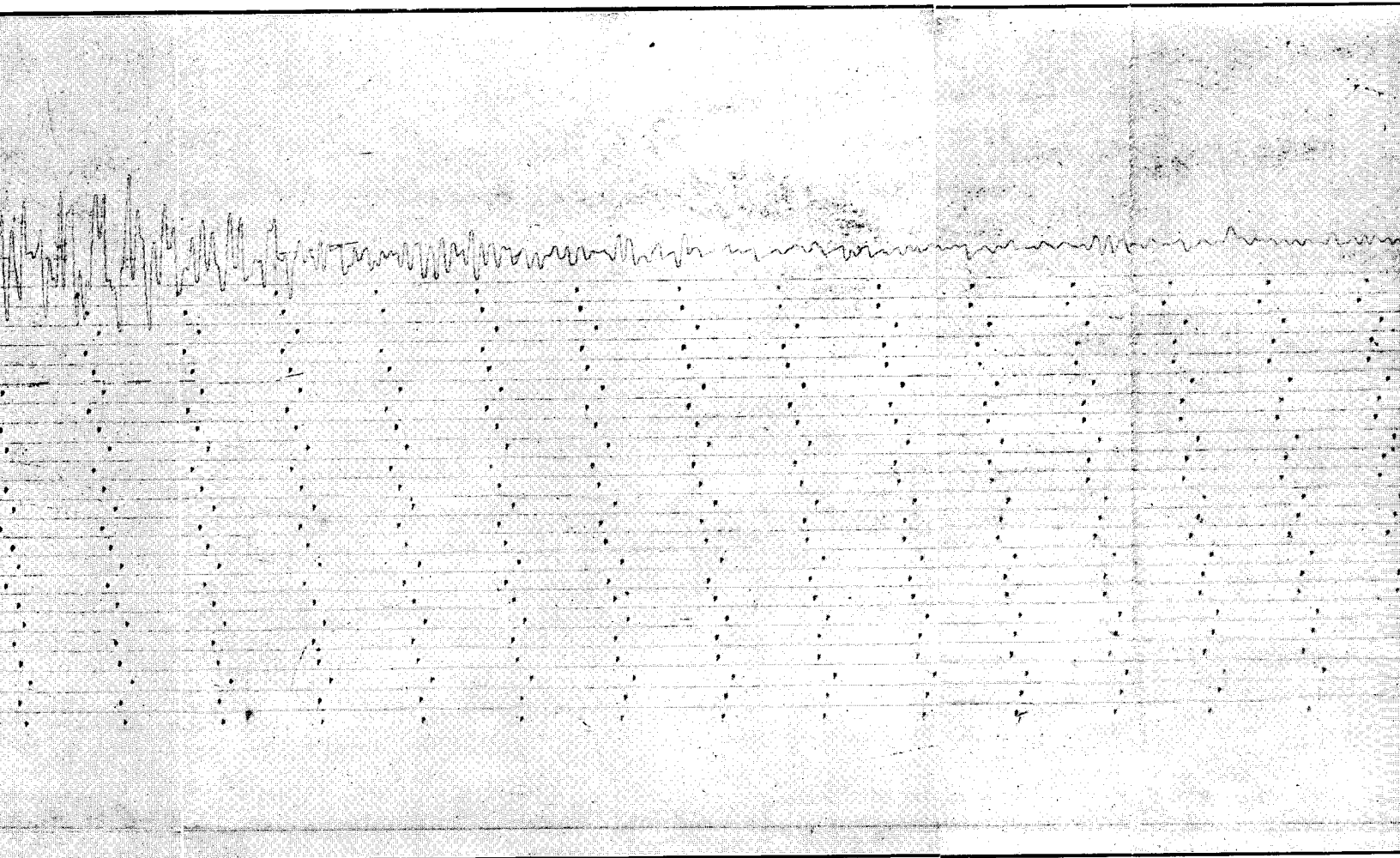


Fig. 5. Seismógrafo vertical Wiechert de 80 kgs. Impulso inicial impetuoso hacia arriba.



horizontal Bosch-Omori de 10 kgs. Componente N.S. (El estilete salió del registro durante las ondas de máxima intensidad.)

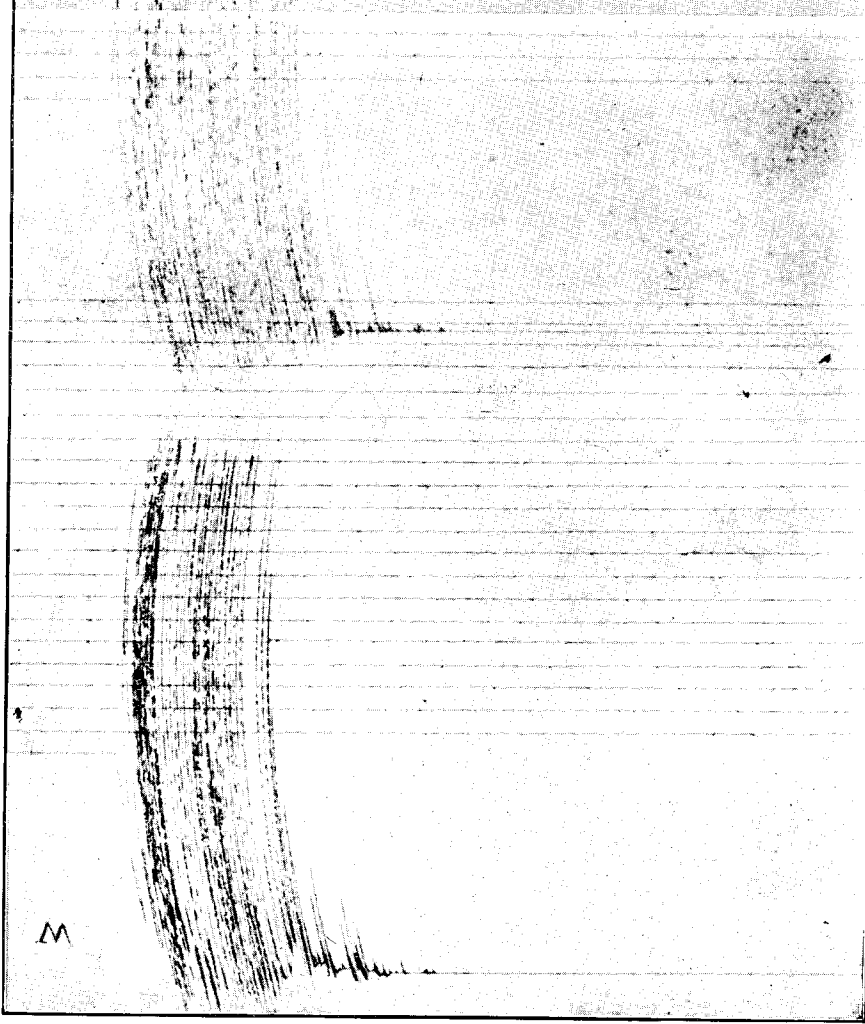


Fig. 3. Péndulo horizontal Wiechert de 125 kgs. Componente N. S.
Desviación inicial hacia el W.

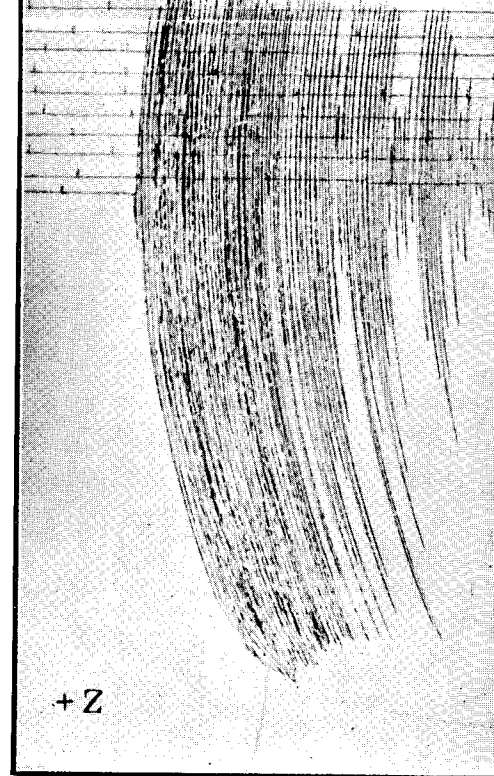


Fig. 5. Seismógrafo vertic

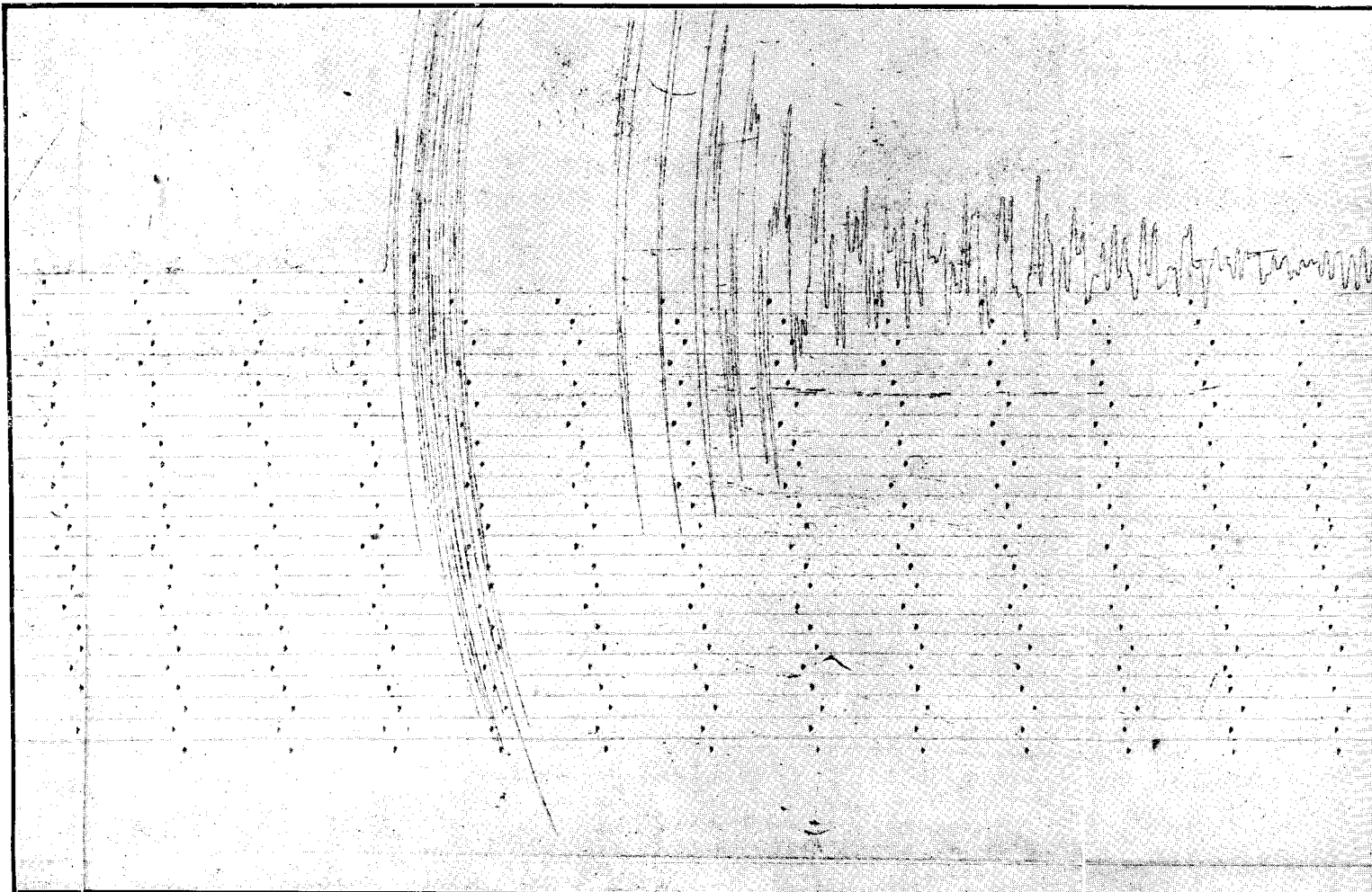


Fig. 7. Péndulo horizontal Bosch-Omori de 10 kgs. Compon